

**EKO-CONNECT**

LABORATORIUM BADAWCZE PÓL ELEKTROMAGNETYCZNYCH

EKO-Connect Sp. z o.o.
60-591 POZNAŃ, ul. MIODOWA 14A
Tel. 790 200 181
Tel. 790 004 761

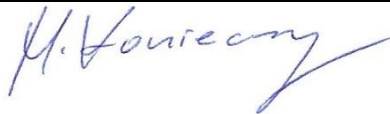
e-mail: laboratorium@eko-connect.pl

AB 1810

SPRAWOZDANIE NR OS/0467/23

Z POMIARÓW NATĘŻENIA PÓL ELEKTROMAGNETYCZNYCH

WYKONANYCH DLA CELÓW OCHRONY ŚRODOWISKA

Miejsce wykonania badania: <small>(dane uzyskane od zleceniodawcy)</small>	KOB4401C 36-105 Jagodnik, dz. nr 181, pow. kolbuszowski, woj. PODKARPACKIE
Współrzędne geograficzne:	50°18'32.06"N 21°42'38.78"E
Data wykonania pomiarów:	20.10.2023
Data wydania sprawozdania:	25.10.2023
Zleceniodawca:	P4 sp. z o.o. ul. Wynalazek 1 02-667 Warszawa
Sprawozdanie sporządził:	Maciej Konieczny 
Sprawozdanie autoryzował:	Wojciech Lubiński

1. INFORMACJE O UŻYTKOWNIKU

1.1. Zleceniodawca: P4 sp. z o.o. ul. Wynalazek 1, 02-667 Warszawa

1.2. Charakterystyka obiektu:

- **Typ obiekt:** Instalacja radiokomunikacyjna zainstalowana na wieży kratowej
- **Numer obiektu:** KOB4401C
- **Adres obiektu:** 36-105 Jagodnik, dz. nr 181, pow. kolbuszowski, woj. PODKARPACKIE
- **Współrzędne geograficzne:** 50°18'32.06"N 21°42'38.78"E

2. CHARAKTERYSTYKA ŹRÓDEŁ PEM (dane pozyskane od Klienta)

Tabela 1. Parametry systemu nadawczo-odbiorczego

Charakterystyka promieniowania				kierunkowa					
Rzeczywisty czas pracy [h/dobę]				Całodobowa 24h					
Warunki pracy				Znamionowe					
Rodzaj wytwarzanego pola				stacjonarne					
Lp.	Typ nadajnika	Antena Producent / Typ	Azymut [°]	Wysokość środka elektr. anteny [m n.p.t.]	Pasma [Mhz]	Kąt nachylenia [°]	EIRP dla anteny [W]	LON	LAT
1	DBS3xxx/5xxx	Huawei A794517R0	10	52,7	800	0 - 10	3556	21°42'38.78"E	50°18'32.06"N
2	DBS3xxx/5xxx	Kathrein 80010306	10	52,7	900	0.5 - 9.5	2884	21°42'38.78"E	50°18'32.06"N
3	DBS3xxx/5xxx	Kathrein 742213	10	53	1800	0 - 6	8147	21°42'38.78"E	50°18'32.06"N
4	DBS3xxx/5xxx	Huawei A19451902	10	53	2100	0 - 6	8872	21°42'38.78"E	50°18'32.06"N
5	DBS3xxx/5xxx	Huawei A794517R0	130	52,7	800	0 - 10	3556	21°42'38.78"E	50°18'32.06"N
6	DBS3xxx/5xxx	Kathrein 80010306	130	52,7	900	0.5 - 9.5	2884	21°42'38.78"E	50°18'32.06"N
7	DBS3xxx/5xxx	Kathrein 742213	130	53	1800	0 - 6	8147	21°42'38.78"E	50°18'32.06"N
8	DBS3xxx/5xxx	Huawei A19451902	130	53	2100	0 - 6	8872	21°42'38.78"E	50°18'32.06"N
9	DBS3xxx/5xxx	Huawei A794517R0	250	52,7	800	0 - 10	3556	21°42'38.78"E	50°18'32.06"N
10	DBS3xxx/5xxx	Kathrein 80010306	250	52,7	900	0.5 - 9.5	2884	21°42'38.78"E	50°18'32.06"N
11	DBS3xxx/5xxx	Kathrein 742213	250	53	1800	0 - 6	8147	21°42'38.78"E	50°18'32.06"N
12	DBS3xxx/5xxx	Huawei A19451902	250	53	2100	0 - 6	8872	21°42'38.78"E	50°18'32.06"N

Tabela 2. Parametry radiolinii

Charakterystyka promieniowania				kierunkowa					
Rzeczywisty czas pracy [h/dobę]				24					
Rodzaj wytwarzanego pola				stacjonarne					
Linia radiowa				Antena					
Lp	Typ nadajnika	Częstotliwość pracy [GHz]	Moc wyjściowa [dBm]	Typ/producent	Średnica anteny [m]	Azymut [°]	Wysokość zainstal. [m]	LON	LAT
1	OPTIX RTN/HUAWEI	18	25,5	0.6-18(VHLPX2-18)	0,6	47	49	21°42'38.76"E	50°18'32.05"N
2	OPTIX RTN/HUAWEI	18	25,5	0.6-18(VHLPX2-18)	0,6	76	50	21°42'38.76"E	50°18'32.05"N
3	OPTIX RTN/HUAWEI	80	18	0.6-80(VHLP2-80)	0,6	116	49	21°42'38.76"E	50°18'32.05"N
4	OPTIX RTN/HUAWEI	23	25	1.2-23(VHLPX4-23)	1,2	118	48,4	21°42'38.76"E	50°18'32.05"N
5	OPTIX RTN/HUAWEI	23	25	0.6-23(VHLPX2-23)	0,6	144	50	21°42'38.76"E	50°18'32.05"N
6	OPTIX RTN/HUAWEI	23	25	0.6-23(VHLPX2-23)	0,6	212	50	21°42'38.76"E	50°18'32.05"N

Inne źródła PEM: W obszarze pomiarowym badanego obiektu **występują** inne źródła promieniowania pola elektromagnetycznego, które w zakresie badanych częstotliwości bezpośrednio wpływają na wynik wartości mierzonej natężenia pola.

3. OPIS POMIARÓW

Cel badań: Sprawdzenie dotrzymania dopuszczalnych poziomów pól elektromagnetycznych, w otoczeniu instalacji wytwarzających takie pola.

3.1. Data pomiarów: 20.10.2023

3.2. Nazwiska osób wykonujących pomiary: Bartosz Piotrowski

3.3. Osoba towarzysząca: brak

3.4. Aparatura pomiarowa:

Tabela 3. Opis zestawu pomiarowego

Nazwa	Typ/model	Numer fabryczny/SN	Świadectwo wzorcowania	Zastosowanie
Szerokopasmowy miernik natężenia pola elektromagnetycznego	NBM- 520	D-2228	LWiMP/W/088/22 z dnia 19.05.2022 (Laboratorium Wzorców i Metrologii Pola Elektromagnetycznego Instytutu Telekomunikacji, Teleinformatyki i Akustyki Politechniki Wrocławskiej)	Pomiary pola elektromagnetycznego
Sonda pomiarowa pola elektrycznego	EF-9091	A-0139		
Szerokopasmowy miernik natężenia pola elektromagnetycznego	NBM- 520	D-2188	LWiMP/W/56/23 z dnia 17.02.2023 (Laboratorium Wzorców i Metrologii Pola Elektromagnetycznego Instytutu Telekomunikacji, Teleinformatyki i Akustyki Politechniki Wrocławskiej)	
Sonda pomiarowa pola elektrycznego	EF-0691	J-0214		
Termohigrometr	ETI 600 224-600	D22060186	LPTW/326/2022 z dnia 10.05.2022 (LPTW)	Pomiary wilgotności względnej powietrza Pomiary temperatury powietrza
Dalmierz laserowy	PLR30C	221208895	45854/1 /2022 z dnia 17.05.2022 (Laboratorium pomiarowe LABOTRONIC)	Pomiar odległości
Odbiornik GPS	Garmin GLO2	1792A-A1156/5PS066633	-	Pomiar współrzędnych geograficznych

3.5. Wyznaczenie niepewności pomiarów:

Ocenę niepewności przyjmuje się zgodnie z procedurą stosowaną w laboratorium.

Wyznaczona rozszerzona niepewność pomiaru dla współczynnika rozszerzenia $k = 2$ dla zestawu pomiarowego z pkt.3.5 w dniu pomiaru wynosi 21,46%.

3.6. Kryteria przedstawiania stwierdzeń zgodności

Niniejsze sprawozdanie zgodnie z zasadami systemu akredytacji zawiera stwierdzenia zgodności.

W przypadku badań poziomów pola elektromagnetycznego w środowisku stwierdzenie zgodności dotyczy rozstrzygnięcia, czy zmierzona wartość opisująca pole elektromagnetyczne przekracza wartość dopuszczalną dla zakresu częstotliwości, w którym pracują źródła podane w Rozporządzeniu Ministra Zdrowia z dnia 17 grudnia 2019 r. w sprawie dopuszczalnych poziomów pól elektromagnetycznych w środowisku (Dz. U. z 2019 r. poz. 2448).

3.7. Metodyka wykonania pomiarów:

Zastosowano metodę znormalizowaną w oparciu o Rozporządzenie Ministra Klimatu i Środowiska z dnia 6 maja 2022 r. zmieniające rozporządzenie w sprawie sposobów sprawdzania dotrzymania dopuszczalnych poziomów pól elektromagnetycznych w środowisku (Dz.U. 2022 poz. 1121).

3.8. Przepisy prawne:

- Ustawa z dnia 27 kwietnia 2001 r. Prawo ochrony środowiska (Dz. U. 2022 poz. 2556).
- Rozporządzenie Ministra Zdrowia z dnia 17 grudnia 2019 r. w sprawie dopuszczalnych poziomów pól elektromagnetycznych w środowisku (Dz. U. z 2019 r. poz. 2448).
- Rozporządzenie Ministra Klimatu z dnia 17 lutego 2020 r. w sprawie sposobów sprawdzania dotrzymania dopuszczalnych poziomów pól elektromagnetycznych w środowisku Załącznik do obwieszczenia Ministra Klimatu i Środowiska z dnia 21 listopada 2022 r. (Dz. U. poz. 2630)

3.9. Opis pomiarów

Stacja bazowa KOB4401C usytuowana jest na wieży kratowej zlokalizowanej pod adresem 36-105 Jagodnik, dz. nr 181, pow. kolbuszowski, woj. PODKARPACKIE. Anteny i moduły RRU zamontowane są na antenowych konstrukcjach wsporczych a urządzenia są w szafie APM zainstalowanej u podnóża wieży. W otoczeniu stacji zlokalizowana jest zabudowa jednorodzinna oraz pola uprawne. Analiza parametrów technicznych wykazała, że urządzenia nadawcze stacji pracują w paśmie częstotliwości zgodnie z tabelą 1 oraz tabelą 2. Moc wyjściowa nadajników doprowadzona jest do anten przy pomocy ekranowanych fiderów.

Pomiary w otoczeniu Stacji bazowej wykonano wzdłuż kierunków maksymalnego zasięgu oddziaływania pola elektromagnetycznego na azymucie anten sektorowych do odległości określonej zgodnie z wytycznymi zawartymi w instrukcji wykonywania pomiarów, w godzinach od 18:20 do 19:00, podczas rzeczywistej pracy urządzeń wytwarzających pola elektromagnetyczne. Pomiary wykonano dla średniego pochylecia wiązki liczonego jako średnia arytmetyczna z minimalnej i maksymalnej wartości stosowanego lub planowanego kąta pochylecia

Pomiary w przyjętych pionach pomiarowych wykonano w punktach położonych na wysokościach od 0,3 m do 2,0 m nad powierzchnią ziemi lub nad innymi powierzchniami, na których mogą przebywać ludzie, przyjmując za wynik pomiaru maksymalny poziom natężenie pól elektromagnetycznego.

Przy doborze pionów pomiarowych uwzględniono charakter i sposób zagospodarowania terenu otaczającego stację bazową.

3.10. Warunki meteorologiczne / środowiskowe:

Miejsce pomiaru	Temperatura (Minimalna/Maksymalna) [°C]	Wilgotność (Minimalna/Maksymalna) [%]	Opady atmosferyczne
Ulica	13,4/13,7	69,0/69,4	nie wystąpiły

3.11. Sposób identyfikacji widma częstotliwości:

Parametry stacji bazowej uzyskane od właściciela instalacji stacji bazowej.

4. WYNIKI POMIARÓW

Wyniki pomiarów ważne są jedynie dla danej konfiguracji urządzeń w dniu, w którym wykonano pomiary.

Wynik pomiaru, to maksymalna wartości chwilowa zmierzona w danym pionie pomiarowym powiększona o rozszerzoną niepewność pomiaru U dla współczynnika rozszerzenia $k = 2$.

Tabela 3. Dopuszczalne poziomy pól elektromagnetycznych

Parametr fizyczny	Składowa elektryczna	Składowa magnetyczna
Zakres częstotliwości pola elektromagnetycznego		
od 400 MHz do 2000 MHz	$1,375 \times f^{0,5}$ V/m	$0,00375 \times f^{0,5}$ A/m
Od 2 GHz do 300 GHz	61 V/m	0,16 A/m

Do wyznaczania wartości wskaźnikowych WM_E i WM_H przyjęto najniższe wartości dopuszczalne poziomów pól elektromagnetycznych w/w zakresach częstotliwości.

Tabela 4. Wyniki pomiarów

Nr pionu	Opis miejsca pomiaru	Pomiar wewnątrz pomieszczenia	Współrzędne geograficzne		Wynik poniżej progu detekcji*	E_p [V/m]	U [V/m]	$E_p + U$ [V/m]	H [A/m]	WME	WMH	Przekroczenie wartości dopuszczalnej
			[°] N	[°] E								
1	Poziom gruntu - oś głównej wiązki anteny sektorowej azymut 130st	NIE	50,308287029	21,711652942	TAK	<0,80	0,18	0,98	0,003	0,04	0,035	nie przekracza
2	Poziom gruntu - oś głównej wiązki anteny sektorowej azymut 130st	NIE	50,307624802	21,712937840	NIE	0,81	0,18	0,99	0,003	0,04	0,035	nie przekracza
3	Poziom gruntu - oś głównej wiązki anteny sektorowej azymut 130st	NIE	50,306926467	21,714184822	NIE	1,16	0,25	1,41	0,004	0,05	0,051	nie przekracza
4	Poziom gruntu - oś głównej wiązki anteny sektorowej azymut 130st	NIE	50,306074957	21,715733247	NIE	0,89	0,20	1,09	0,003	0,04	0,039	nie przekracza
5	Poziom gruntu - oś głównej wiązki anteny sektorowej azymut 130st	NIE	50,305174266	21,717438605	TAK	<0,80	0,18	0,98	0,003	0,04	0,035	nie przekracza
6	Poziom gruntu - oś głównej wiązki anteny sektorowej azymut 250st	NIE	50,308538107	21,708984811	TAK	<0,80	0,18	0,98	0,003	0,04	0,035	nie przekracza

Nr pionu	Opis miejsca pomiaru	Pomiar wewnątrz pomieszczenia	Współrzędne geograficzne		Wynik poniżej progu detekcji*	E _p [V/m]	U [V/m]	E _p + U [V/m]	H [A/m]	WME	WMH	Przekroczenie wartości dopuszczalnej
			[°] N	[°] E								
7	Poziom gruntu - oś głównej wiązki anteny sektorowej azymut 250st	NIE	50,308180320	21,707558969	TAK	<0,80	0,18	0,98	0,003	0,04	0,035	nie przekracza
8	Poziom gruntu - oś głównej wiązki anteny sektorowej azymut 250st	NIE	50,307841781	21,705935461	NIE	1,19	0,26	1,45	0,004	0,05	0,052	nie przekracza
9	Poziom gruntu - oś głównej wiązki anteny sektorowej azymut 250st	NIE	50,307411853	21,704098432	TAK	<0,80	0,18	0,98	0,003	0,04	0,035	nie przekracza
10	Poziom gruntu - oś głównej wiązki anteny sektorowej azymut 250st	NIE	50,306955619	21,702188469	TAK	<0,80	0,18	0,98	0,003	0,04	0,035	nie przekracza
11	Poziom gruntu - oś głównej wiązki anteny sektorowej azymut 10st	NIE	50,309891090	21,710811937	TAK	<0,80	0,18	0,98	0,003	0,04	0,035	nie przekracza
12	Poziom gruntu - oś głównej wiązki anteny sektorowej azymut 10st	NIE	50,311020748	21,711133081	TAK	<0,80	0,18	0,98	0,003	0,04	0,035	nie przekracza
13	Poziom gruntu - oś głównej wiązki anteny sektorowej azymut 10st	NIE	50,312181411	21,711471269	NIE	1,16	0,25	1,41	0,004	0,05	0,051	nie przekracza
14	Poziom gruntu - oś głównej wiązki anteny sektorowej azymut 10st	NIE	50,313290453	21,711775684	NIE	0,86	0,19	1,05	0,003	0,04	0,038	nie przekracza
15	Poziom gruntu - oś głównej wiązki anteny sektorowej azymut 10st	NIE	50,314441062	21,712081181	TAK	<0,80	0,18	0,98	0,003	0,04	0,035	nie przekracza
16	Poziom gruntu - pomocniczy pion pomiarowy	NIE	50,311917789	21,713802014	TAK	<0,80	0,18	0,98	0,003	0,04	0,035	nie przekracza
17	Poziom gruntu - pomocniczy pion pomiarowy	NIE	50,309789097	21,714575138	TAK	<0,80	0,18	0,98	0,003	0,04	0,035	nie przekracza
18	Poziom gruntu - pomocniczy pion pomiarowy	NIE	50,305751777	21,712994352	TAK	<0,80	0,18	0,98	0,003	0,04	0,035	nie przekracza
19	Poziom gruntu - pomocniczy pion pomiarowy	NIE	50,306253210	21,708803460	TAK	<0,80	0,18	0,98	0,003	0,04	0,035	nie przekracza
20	Poziom gruntu - pomocniczy pion pomiarowy	NIE	50,310073003	21,706056722	TAK	<0,80	0,18	0,98	0,003	0,04	0,035	nie przekracza
21	Poziom gruntu - pomocniczy pion pomiarowy	NIE	50,312241064	21,708761921	TAK	<0,80	0,18	0,98	0,003	0,04	0,035	nie przekracza
22	Poziom gruntu - oś głównej wiązki anteny radioliniowej azymut 212st	NIE	50,308529358	21,710211542	NIE	0,96	0,21	1,17	0,003	0,04	0,042	nie przekracza
23	Poziom gruntu - oś głównej wiązki anteny radioliniowej azymut 212st	NIE	50,308126494	21,709811673	NIE	0,90	0,20	1,10	0,003	0,04	0,039	nie przekracza
24	Poziom gruntu - oś głównej wiązki anteny radioliniowej azymut 144st	NIE	50,308445713	21,711036410	NIE	0,90	0,20	1,10	0,003	0,04	0,039	nie przekracza
25	Poziom gruntu - oś głównej wiązki anteny radioliniowej azymut 144st	NIE	50,308161583	21,711380679	TAK	<0,80	0,18	0,98	0,003	0,04	0,035	nie przekracza
26	Poziom gruntu - oś głównej wiązki anteny radioliniowej azymut 118st	NIE	50,308683182	21,711209143	TAK	<0,80	0,18	0,98	0,003	0,04	0,035	nie przekracza

Nr pionu	Opis miejsca pomiaru	Pomiar wewnątrz pomieszczenia	Współrzędne geograficzne		Wynik poniżej progu detekcji*	E _p [V/m]	U [V/m]	E _p + U [V/m]	H [A/m]	WME	WMH	Przekroczenie wartości dopuszczalnej
			[°] N	[°] E								
27	Poziom gruntu - oś głównej wiązki anteny radioliniowej azymut 118st	NIE	50,308466830	21,711795029	NIE	0,82	0,18	1,00	0,003	0,04	0,036	nie przekracza
28	Poziom gruntu - oś głównej wiązki anteny radioliniowej azymut 116st	NIE	50,308494789	21,711817274	TAK	<0,80	0,18	0,98	0,003	0,04	0,035	nie przekracza
29	Poziom gruntu - oś głównej wiązki anteny radioliniowej azymut 76st	NIE	50,309008504	21,711296790	NIE	0,90	0,20	1,10	0,003	0,04	0,039	nie przekracza
30	Poziom gruntu - oś głównej wiązki anteny radioliniowej azymut 76st	NIE	50,309106369	21,711917665	TAK	<0,80	0,18	0,98	0,003	0,04	0,035	nie przekracza
31	Poziom gruntu - oś głównej wiązki anteny radioliniowej azymut 47st	NIE	50,309188695	21,711049353	NIE	0,90	0,20	1,10	0,003	0,04	0,039	nie przekracza
32	Poziom gruntu - oś głównej wiązki anteny radioliniowej azymut 47st	NIE	50,309502000	21,711582246	NIE	1,04	0,23	1,27	0,003	0,05	0,046	nie przekracza

Objaśnienia:

$$E_p: E_{poprawne} = E_{wskazane} * C_{d(E)} * C_{f(f)}$$

U - rozszerzona niepewność pomiaru dla współczynnika rozszerzenia k=2 (poziom ufności 95%) – $U = k \times U_c$

H – wyznaczona wartość natężenia pola magnetycznego z uwzględnieniem współczynnika korekcyjnego oraz rozszerzonej niepewności pomiaru.

WME - wartość wskaźnikowa poziomu oddziaływania pól elektromagnetycznych dla miejsc dostępnych dla ludności dla składowej elektrycznej pola.

WMH - wartość wskaźnikowa poziomu oddziaływania pól elektromagnetycznych dla miejsc dostępnych dla ludności dla składowej magnetycznej pola.

* Wynik poniżej progu detekcji - wartość zmierzona poniżej zakresu akredytacji. Do obliczeń przyjęto wartość zgodną z dolną granicą akredytowanego zakresu pomiarowego metody.

5. WNIOSKI

Stwierdza się, iż na podstawie uzyskanych wyników pomiarów i informacji uzyskanych od operatora, w otoczeniu stacji bazowej telefonii komórkowej KOB4401C w miejscach dostępnych dla ludności, w których dokonano pomiaru, nie zostały przekroczone wartości graniczne poziomów pól elektromagnetycznych określonych w Rozporządzeniu Ministra Zdrowia z dnia 17 grudnia 2019 r. w sprawie dopuszczalnych poziomów pól elektromagnetycznych w środowisku (Dz. U. z 2019 r. poz. 2448).

Stwierdzenie zgodności zostało przedstawione na podstawie wyników badań oraz informacji uzyskanych od klienta (za które Laboratorium nie ponosi odpowiedzialności) dla instalacji opisanej w punkcie 2. Stwierdzenia zgodności dokonano na podstawie zasady podejmowania decyzji i wymagań zawartych w załączniku do Rozporządzenia Ministra Klimatu z dnia 17 lutego 2020 r. w sprawie sposobów sprawdzania dotrzymania dopuszczalnych poziomów pól elektromagnetycznych w środowisku (Dz.U. 2022 poz. 2630 z 15.12.2022r.).

- Sprawozdanie zawiera 9 stron
- załączniki: nr 1 – mapa z rozmieszczeniem pionów pomiarowych wokół obiektu

Bez pisemnego zezwolenia laboratorium Eko-Connect sprawozdanie nie może być powielane inaczej, jak tylko w całości.

- Otrzymują:
 1. Zleceniodawca: - 1 egz.
 2. a / a: 1 egz.

Koniec sprawozdania

Załącznik nr 1 do sprawozdania nr OS/0467/23



Laboratorium Badawcze
Eko-Connect Sp. z o.o
60-591 POZNAŃ, ul. MIODOWA 14A

Obiekt:	Instalacja radiokomunikacyjna KOB4401C, 36-105 Jagodnik, dz. nr 181, pow. kolbuszowski, woj. PODKARPACKIE			Opracował:	mgr inż. Maciej Konieczny
Investor:	P4 Sp. z o.o. ul. Wynałazek 1			Sprawdził:	mgr inż. Wojciech Lubiński
Nazwa projektu	Sprawozdanie z pomiarów natężenia pól elektromagnetycznych wykonanych dla celów ochrony środowiska			Nr sprawozdania:	
Nazwa rysunku	Rozmieszczenie pionów pomiarowych			OS/0467/23	
Nr rysunku	KOB4401C/1	Skala	1:5500	Data:	20.10.2023

- Legenda:
- - Punkty (piony) pomiarowe
 - - Punkty (piony) pomiarowe wewnątrz budynku
 - - Badana stacja bazowa

